

Studium okrajového plazmatu v tokamacích pomocí pokročilých elektrických sond

PETR MÁCHA

Vedoucí: VOJTECH SVOBODA

Konzultant: JAN STÖCKEL, ALEŠ PODOLNÍK,
JAMIE GUNN CEA Cadarache France

Fakulta jaderná a fyzikálně inženýrská

22.1.2020

Obsah

- Cíle práce
- Ball-Pen a Langmuirova sonda
- Tunelová sonda
- Motivace pro simulace
- Výsledky z výzkumného úkolu
- Porovnání nový x starý kód
- PICCYL
- Výsledky
- Závěr

Cíle práce

- Měření parametrů plazmatu pomocí pokročilých sond:
 - Langmuirova sonda
 - Ball-Pen sonda
 - Tunelová sonda
- Statistické zpracování ze všech měření.
- Seznámení se a zprovoznění PIC kódu.
- Provedení simulací Tunelové sondy.
- Vytvoření databáze pro požadované hodnoty magnetického pole.
- Porovnání experimentu se simulacemi.

Kombinovaná Ball-Pen a Langmuirova sonda

- **Ball-Pen sonda** - kolektor nabitých částic vnořen do izolantu.
- Dochází k fyzickému odstínění elektronů.
- Měří potenciál plazmatu Φ .
- **Langmuirova sonda** - měří plovoucí potenciál U_{fl} .
- Elektronová teplota z: $T_e = \frac{\Phi - U_{\text{fl}}}{\alpha}$.
- α učeno experimentálně $\alpha = 2.5$ [3].

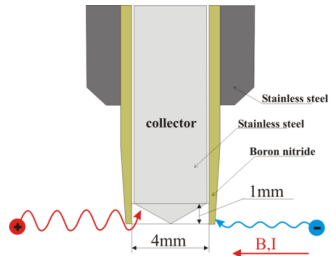
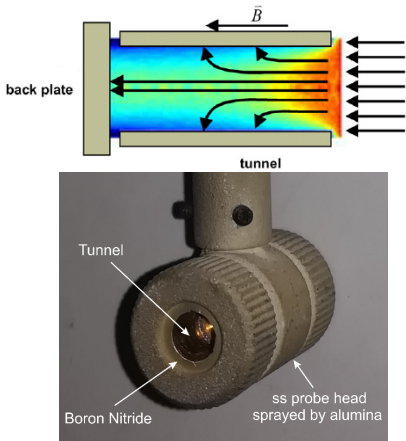


Schéma BPP [3].

Tunelová sonda

- Elektrická sonda pro měření v okrajovém plazmatu.
 - Skládá se z tunelu a backplatu.
 - Elektrody je možno nabíjet na dané napětí.
 - Dva režimy:
 - 1) Napětí měníme - (IV char.)
 - 2) Vysoké záporné napětí - (iontový proud).
 - Absence sheath expansion.



Měřené veličiny

Hustota iontového proudu J_{sat} vs. poměr proudů na elektrody R .

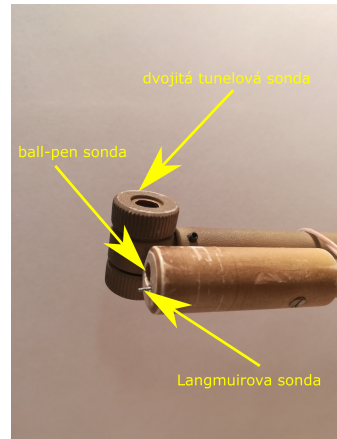
$$J_{\text{sat}} = en_e \sqrt{\frac{k_b T_e}{m_i}} = \frac{I_{\text{sat}}^{\text{BP}} + I_{\text{sat}}^{\text{TN}}}{S}$$

$$R = \frac{I_{\text{sat}}^{\text{TN}}}{I_{\text{sat}}^{\text{TN}} + I_{\text{sat}}^{\text{BP}}}$$

- Veličiny měřené pro sondu nabitou na vysoké záporné napětí.
- Všechny elektrony odstíněny - sbírány pouze ionty.

Kombinovaná sondová hlavice

- Ball-Pen a Langmuirova sonda k měření elektronové teploty $T_e = \frac{\Phi - U_{fl}}{\alpha}$.
- Tunelová sonda ve dvou režimech:
 - Měníme napětí - IV char. - T_e, U_{fl} .
 - Vysoké záporné napětí - J_{sat}, R .
- Sondová hlavice pohyblivá v radiálním směru.
- Měření radiálních profilů parametrů plazmatu.

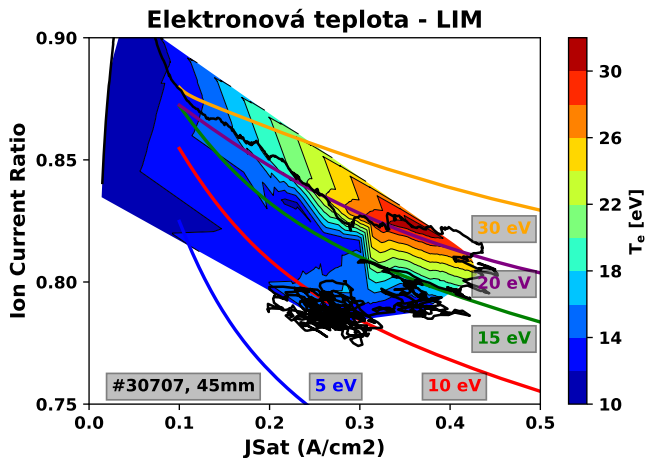


Sondová hlavice [4].

Motivace pro simulace I

- Interpretovat experimentální data pomocí numerických simulací na tokamaku **GOLEM** a **COMPASS**.
- Cílem je stanovení elektronové teploty s vysokým časovým rozlišením.
- Poměr proudů $R = \frac{I_{\text{sat}}^{\text{TN}}}{I_{\text{sat}}^{\text{TN}} + I_{\text{sat}}^{\text{BP}}}$ závisí na T_e , V_{BIAS} a J_{sat} .
- Simulace pro různé J_{sat} (n_e) a T_e - určení poměru proudů R .
- Výsledky simulací - kalibrační křivky - závislost R na J_{sat} a T_e .
- Měřením R a J_{sat} rychle určíme elektronovou teplotu T_e .

Motivace pro simulace II



Kalibrační křivky pro CASTOR (B = 1 T, vodík) BPP + LP [4].
Experimentální data GOLEM.

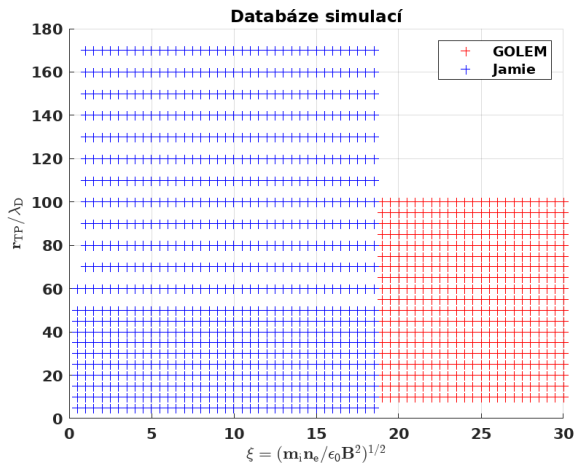
Numerické simulace - PICCYL

- Cylindrický PIC kód (PIC code in CYLindrical geometry [1]).
- 2 normalizované parametry:

$$\lambda_D = \sqrt{\frac{\epsilon_0 T_e}{en_e}} \quad \xi = \frac{\omega_{pi}}{\omega_{ci}} = \sqrt{\frac{m_i n_e}{\epsilon_0 B^2}}$$

- 6 parametrů plazmatu: J_{sat} , T_e , B , m_i , V_{bias} a r_{TP} .
- Databáze mnoha simulací – pokrytí širokého spektra parametrů plazmatu:
 - $\xi \in <0.5, 30>$ s krokem $d\xi = 0.5$.
 - $Lr1 \in <5, 100>$ s krokem $dLr1 = 5$.
 - 5-10 napětí $U_{bias} \in <-200, 0>$

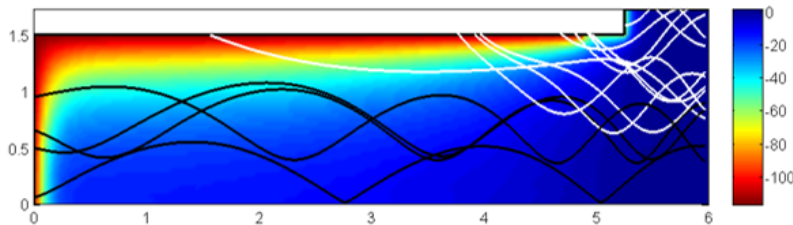
PICCYL - databáze



Databáze simulací pro široké spektrum parametrů plazmatu.

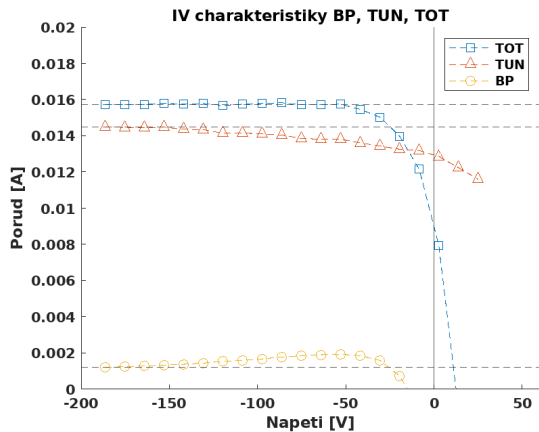
PICCYL - výstupy

- Hlavním výstupem proudy na backplate a tunel.
- Distribuce závisí na elektrickém poli uvnitř sondy a magnetizaci.



Příklad výstupu simulace s trasováním iontů.

PICCYL - IV charakteristika



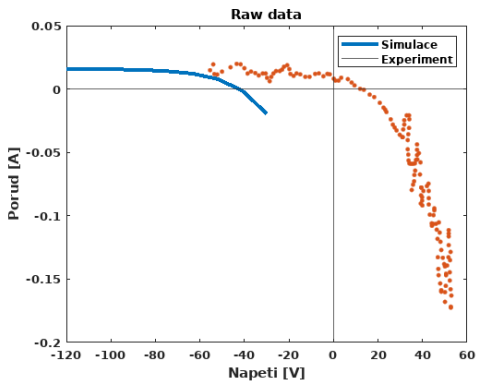
IV charakteristika pro tunel, backplate a celkový proud. $T_e = 15 \text{ eV}$, $J_{\text{sat}} = 1 \text{ A cm}^{-2}$.

PICCYL - výpočet R

- 1) Zadání veličin T_e , J_{sat} , $rTUN$, B , A , τ , U .
- 2) Ze zadaných veličin spočteno ξ a $Lr1$.
- 3) Nalezení nejbližších simulací z databáze k spočteným ξ a $Lr1$.
- 4) Každá simulace v databázi minimálně pro 5x různých U_{bias} .
- 5) Spočteny proudy na tunel a backplate pro každé napětí U_{bias} .
- 6) Proložení proudů splinem.
- 7) Interpolace proudu pro napětí U zadaného v bodě 1).
- 8) Spočtení poměru proudů R .

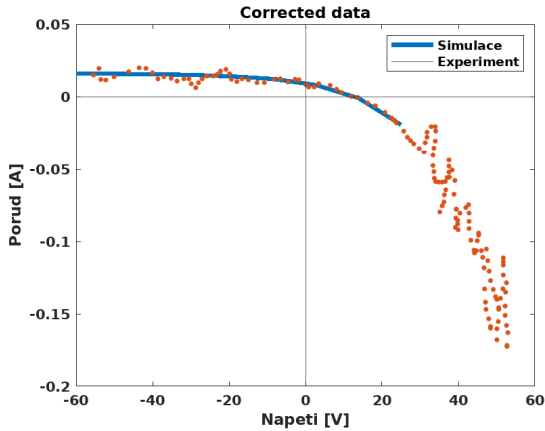
PICCYL - plovoucí potenciál

- Plovoucí potenciál
 $U_{\text{fl}} = -3T_e$ a potenciál plazmatu $\Phi = 0$ v simulaci nastaven fixně.
- Nutnost sjednocení s experimentem.
- Posun výsledků simulace o vhodnou konstantu U_p .



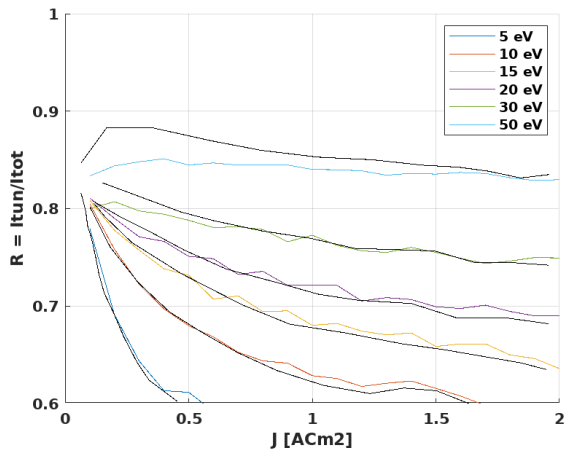
IV charakteristika bez úprav. $T_e = 15 \text{ eV}$,
 $J_{\text{sat}} = 1 \text{ A cm}^{-2}$.

PICCYL - korekce plovoucího potenciálu



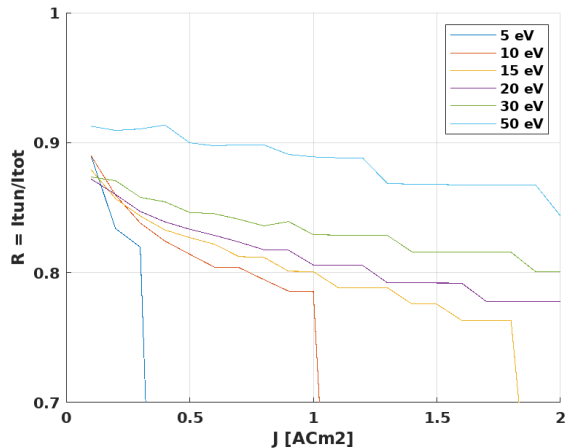
IV charakteristika upravená na plovoucí potenciál. $T_e = 15 \text{ eV}$, $J_{\text{sat}} = 1 \text{ Acm}^{-2}$.

Výsledky - CASTOR



Výsledné kalibrační křivky pro tokamak CASTOR.

Výsledky - GOLEM



Výsledné kalibrační křivky pro tokamak GOLEM.

Závěr

- Postupné seznamování se s PICCYL kódem.
- Použití současného rozsahu databáze na konstrukci kalibračních křivek CASTORu.
- Rozšíření databáze pro simulace plazmatu tokamaku GOLEM.
- Dále: vytvoření statistiky experimentálně měřené T_e na GOLEMu - BPP+LP.
- Porovnání experimentu se simulacemi.
- Totéž provést pro tokamak COMPASS ($B = 1.15$ T).

Literatura

- [1] GUNN, J. *Vývoj, teorie a aplikace tunelové sondy*. Habilitace, 2014.
- [2] GUNN, J. *Vývoj, teorie a aplikace tunelové sondy*. Prezentace, 2014.
- [3] MÁCHA, P. *Měření základních parametrů okrajového plazmatu pomocí kombinované ball-pen a Langmuirovy sondy na tokamaku GOLEM*. Bakalářská práce, 2018.
- [4] MÁCHA, P. *Rychlé měření elektronové teploty na tokamaku GOLEM pomocí Tunelové sondy*. Výzkumný úkol, 2019.